

## MnO<sub>2</sub>/聚苯胺复合材料的制备和性能

张启卫<sup>\*·1</sup> 彭小红<sup>1</sup> 黄行康<sup>2</sup> 肖旺钏<sup>1</sup> 王仁章<sup>1</sup> 杨勇<sup>2</sup>

(<sup>1</sup>三明学院化学与生物工程系,三明 365004)

(<sup>2</sup>厦门大学化学系,厦门 361005)

**摘要:**以 $\delta$ -MnO<sub>2</sub>为前驱体,通过酸处理后引入苯胺并聚合,得到了MnO<sub>2</sub>/聚苯胺复合材料。经XRD分析表明,在本研究条件下,经酸处理后的 $\delta$ -MnO<sub>2</sub>晶型由 $\delta$ 型转变为 $\alpha$ 型,而在随后的苯胺引入及其聚合步骤中MnO<sub>2</sub>晶型均不再改变。以200 mA·g<sup>-1</sup>的电流进行恒电流充放电性能测试,结果显示,MnO<sub>2</sub>/聚苯胺复合材料的充放电容量达到160.2 mA·g<sup>-1</sup>,与酸处理后得到的 $\alpha$ -MnO<sub>2</sub>接近(160.9 mA·g<sup>-1</sup>),但比前驱体 $\delta$ -MnO<sub>2</sub>高(125.8 mA·g<sup>-1</sup>);更为重要的是,MnO<sub>2</sub>/聚苯胺复合材料与前驱体及酸处理得到的样品相比,其循环性能得到了较大的提高。

**关键词:**MnO<sub>2</sub>;聚苯胺;复合材料;制备;电化学性能

中图分类号:O614.111 文献标识码:A 文章编号:1001-4861(2008)04-0600-05

## Preparation and Properties of MnO<sub>2</sub>/polyaniline Composite

ZHANG Qi-Wei<sup>\*·1</sup> PENG Xiao-Hong<sup>1</sup> HUANG Xing-Kang<sup>2</sup>

XIAO Wang Chuang<sup>1</sup> WANG Ren-Zhang<sup>1</sup> YANG Yong<sup>2</sup>

(<sup>1</sup>Department of Chemistry and Biology Engineering, Sanming University, Sanming, Fujian 365004)

(<sup>2</sup>Department of Chemistry, Xiamen University, Xiamen, Fujian 361005)

**Abstract:** MnO<sub>2</sub>/polyaniline composite was prepared by polymerization of aniline in  $\alpha$ -MnO<sub>2</sub> from the acid-treating precursor of  $\delta$ -MnO<sub>2</sub>. XRD results showed that during acid treatment the precursor of  $\delta$ -MnO<sub>2</sub> was transformed into  $\alpha$ -MnO<sub>2</sub>, and this in  $\alpha$ -MnO<sub>2</sub> polymorph kept unchanged in the subsequent processes, as intercalation and polymerization of aniline. Comparison of charge-discharge performances among the precursor, its acid-treated form and the final composite, showed that at current density of 200 mA·g<sup>-1</sup> the discharge capacity of the composite was 160.2 mA·g<sup>-1</sup>, which is close to that of the acid-treated material (160.9 mA·g<sup>-1</sup>) but higher than that of the precursor (125.8 mA·g<sup>-1</sup>). More important, the MnO<sub>2</sub>/polyaniline composite showed a much better cyclic performance than the precursor and its acid-treated form.

**Key words:** MnO<sub>2</sub>; polyaniline; composites; preparation; electrochemical property

目前,MnO<sub>2</sub>已广泛应用于一次电池,包括碱锰和锂锰电池中,其合成研究尤其是特殊形貌MnO<sub>2</sub>的合成更是研究的热点之一<sup>[1,2]</sup>。随着人们环境保护意识的增强及对资源可再生利用要求的提高,MnO<sub>2</sub>的可充性研究也倍受关注。 $\delta$ -MnO<sub>2</sub>具有良好的层状结构,有着较好的放电性能<sup>[3,4]</sup>,但因其在充放电过

程中结构不稳定,循环性能表现不佳而未得到推广应用。因此采取措施改善MnO<sub>2</sub>的循环性能具有重要意义<sup>[5-7]</sup>。近年来,有关于有机胺嵌入MnO<sub>2</sub>晶格内<sup>[8,9]</sup>或者包覆在MnO<sub>2</sub>表面形成复合物<sup>[10,11]</sup>来提高MnO<sub>2</sub>的电化学性能的报道。本课题组多年来致力于 $\delta$ -MnO<sub>2</sub>的制备及其改性的研究<sup>[12]</sup>。本工作采用先

收稿日期:2007-10-29。收修改稿日期:2008-02-15。

福建省高新技术重点项目(No.2005H071);三明市重点科技项目(No.2005-G-9)。

\*通讯联系人。E-mail:zhangqiweisanmin@163.com

第一作者:张启卫,男,52岁,教授;研究方向:无机化学教学、无机/有机杂化材料。

酸处理,再直链胺嵌入、苯胺交换,然后聚合的方法,制备了MnO<sub>2</sub>/聚苯胺复合材料,并对产物进行了结构表征和电化学性能的测试研究,为改善MnO<sub>2</sub>电极材料的性能提供实验数据。

## 1 实验部分

### 1.1 样品制备

#### 1.1.1 $\delta$ -MnO<sub>2</sub> 的酸处理

$\delta$ -MnO<sub>2</sub>的制备详见文献<sup>[12]</sup>。称取3 g的 $\delta$ -MnO<sub>2</sub>于碘量瓶中,加入100 mL 2.25 mol·L<sup>-1</sup>的H<sub>2</sub>SO<sub>4</sub>,磁力搅拌72 h,静置过滤,洗涤至滤液呈中性,沉淀置于60 ℃烘箱中恒温干燥6 h,得到的样品记为HMO。

#### 1.1.2 正丁胺嵌入 HMO 复合材料的合成

将制得的HMO置于碘量瓶中,倾入100 mL的正丁胺在70 ℃下回流5 d,静置过滤,并用无水乙醇洗涤3次,产物于60 ℃恒温干燥6 h后密封保存,该样品记为AMO。

#### 1.1.3 苯胺嵌入 AMO 复合材料的合成

将制得的AMO置于的碘量瓶中,倾入100 mL苯胺/乙醇(1:1体积比)溶液,于50 ℃下回流2 d,静置过滤,用无水乙醇洗涤2次,60 ℃恒温干燥6 h后密封保存,该样品记为AnMO。

#### 1.1.4 苯胺的聚合

将所制得苯胺嵌入 $\delta$ -MnO<sub>2</sub>的复合材料置于HNO<sub>3</sub>溶液液面上放置2 d。通过HNO<sub>3</sub>蒸气引发An聚合,得MnO<sub>2</sub>/PAn复合材料,记为PAnMO。

### 1.2 样品的表征与测试

#### 1.2.1 二氧化锰中锰的价态分析

样品中锰的价态分析,采用马子川等<sup>[13]</sup>提出的两步法联合滴定分析,同时测出 $\delta$ -MnO<sub>2</sub>和MnO<sub>2</sub>/聚苯胺复合材料中锰的含量和锰的平均价态。测试结果 $\delta$ -MnO<sub>2</sub>试样中锰的价态可表示为MnO<sub>1.92</sub>;而MnO<sub>2</sub>/聚苯胺复合材料试样中锰的价态表示为MnO<sub>1.79</sub>。

#### 1.2.2 X射线衍射表征

采用荷兰Philips公司的PANalytical X'Pert粉末X射线衍射仪对样品进行物相分析,管电流30 mA,管电压40 kV,Cu靶K $\alpha$ 射线( $\lambda=0.154\text{ }187\text{ nm}$ ),Ni滤波片( $20\text{ }\mu\text{m}$ )。测试步长0.0167°,每步停留15 s,采用超能检测器统计衍射强度。

#### 1.2.3 形貌观测

采用LEO-1530型扫描电子显微镜(德国)观察

样品的形貌。

#### 1.2.4 红外光谱分析

采用Nicolet公司生产的Nicolet Avatar 360型傅里叶变换红外光谱仪测试试样的红外光谱,KBr压片法。

#### 1.2.5 恒电流充放电性能测试

按 $m_{\text{样品}}:m_{\text{乙炔黑}}:m_{\text{粘结剂}}=85:10:5$ 比例称取各物质,球磨混均后涂在已处理后的铝箔上于120 ℃烘干,在20 MPa下压制成型,得到正极片。将该电极片与金属锂负极、电解液(含1 mol·L<sup>-1</sup> LiClO<sub>4</sub>的PC/DME(1:1 V/V)溶液)和隔膜(Cellgard 2400)在充有氩气手套箱( $\rho_{\text{H}_2\text{O}}<4\text{ mg}\cdot\text{L}^{-1}$ )内组装成2025型扣式电池。电池的充放电电压范围为2.0~4.2 V,充放电电流为200 mA·g<sup>-1</sup>。

## 2 结果与讨论

### 2.1 结构表征

本实验所用的前驱体 $\delta$ -MnO<sub>2</sub>的XRD图如图1a所示,在12.2°和24.6°附近的衍射峰为单斜相层状MnO<sub>2</sub>的(001)和(002)衍射特征峰(PDF No.43-1456;Na<sub>0.55</sub>Mn<sub>2</sub>O<sub>4</sub>·1.5H<sub>2</sub>O),与文献<sup>[14,15]</sup>报道的层状MnO<sub>2</sub>类似;同时,该样品的(001)峰较为尖锐且峰宽较窄,表明试样为结晶良好的层状MnO<sub>2</sub>。该 $\delta$ -MnO<sub>2</sub>经过2.25 mol·L<sup>-1</sup>的硫酸溶液处理72 h后,结构发生了明显的变化(见图1b),在18°附近出现了衍射峰,该峰对应于四方相的 $\alpha$ -MnO<sub>2</sub>的衍射特征峰(PDF No.42-1348)。图1c和1d还示出了引入苯胺(AnMO)和苯胺聚合后的MnO<sub>2</sub>/聚苯胺复合物的XRD图。由图可知,所得到的MnO<sub>2</sub>/聚苯胺复合材料与HMO的XRD图无显著差别,且没有检测到任

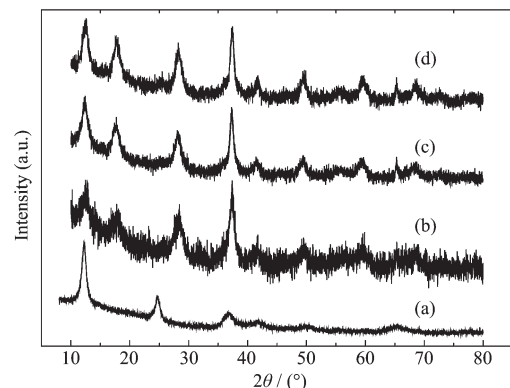


图1  $\delta$ -MnO<sub>2</sub>(a), HMO(b), AnMO(c)和PAnMO(d)的XRD图

Fig.1 XRD patterns of (a)  $\delta$ -MnO<sub>2</sub>, (b) HMO, (c) AnMO and (d) PAnMO

何新相的生成,表明苯胺的引入及随后的聚合均不改变 $\alpha\text{-MnO}_2$ 的结构。

## 2.2 形貌观察

图2a和2b分别为 $\delta\text{-MnO}_2$ 和经苯胺改性的 $\text{MnO}_2$ 复合材料(PAnMO)的扫描电镜图。由图可见, $\delta\text{-MnO}_2$ 为棱角分明的块状形貌,而PAnMO则为类球状粉末,表明 $\text{MnO}_2$ 在改性过程中形貌发生了明显变化。

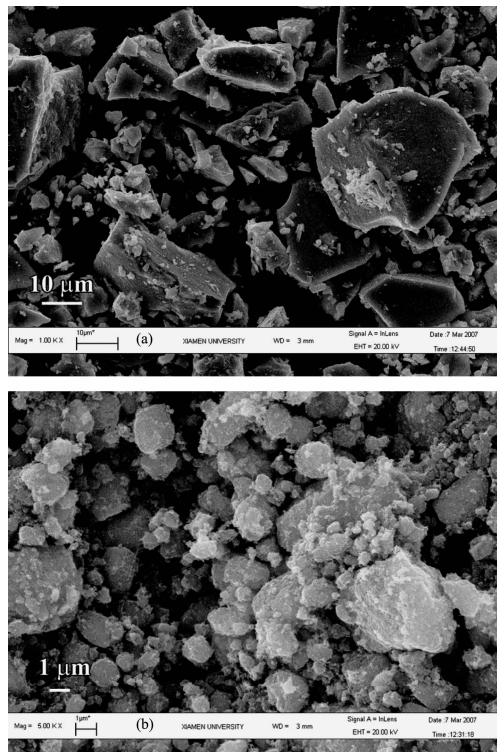


图2  $\delta\text{-MnO}_2$  (a) 和 PAnMO (b) 的扫描电镜照片  
Fig.2 SEM images of (a)  $\delta\text{-MnO}_2$  and (b) PAnMO

## 2.3 红外分析

苯胺的引入及其聚合是否成功,可以用红外技术进行分析。图3给出了PAnMO和AnMO的红外图谱,由图观测到 $1400\text{ cm}^{-1}$ 附近的特征峰,这是苯胺的C-N振动峰,表明了苯胺的成功引入;而在苯胺聚合后,该峰明显向低波数移动,这是因为苯胺上的C-N振动峰由于苯胺聚合而变弱所致。结合XRD实验及红外实验结果,可知本实验在不改变HMO结构的同时已成功地得到了 $\text{MnO}_2$ /聚苯胺复合材料。文献报道了 $\text{MnO}_2$ 与有机胺形成的聚合物,当 $\text{MnO}_2$ 为 $\delta$ 晶型(层间距约为0.7 nm)时,以嵌入为主,主要表现为其层间距明显增大<sup>[8,9]</sup>;当 $\text{MnO}_2$ 为 $\gamma$ 晶型(为 $0.23\text{ nm} \times 0.46\text{ nm}$ 与 $0.23\text{ nm} \times 0.23\text{ nm}$ 交替生长隧道结构)时,生瑜等根据透射电镜观察认为

是以苯胺包裹 $\text{MnO}_2$ 颗粒为主<sup>[10,11]</sup>。对于本文中的 $\alpha\text{-MnO}_2$ 而言,它具有 $0.46\text{ nm} \times 0.46\text{ nm}$ 的隧道结构,苯胺引入后所处的位置,可能存在嵌入和包覆在 $\text{MnO}_2$ 表面的两种形式。

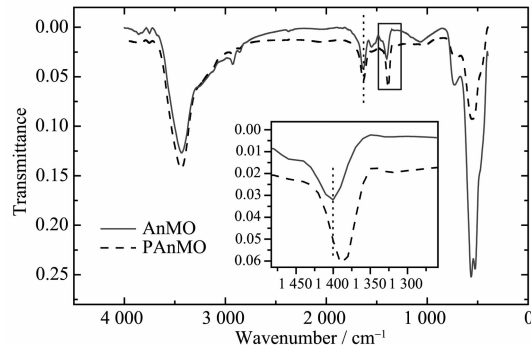


图3 样品 AnMO 和 PAnMO 的红外光谱图

Fig.3 FTIR spectra of AnMO and PAnMO

## 2.4 充放电性能

将所制备的 $\text{MnO}_2$ 及其复合材料作为锂电池正极材料,制成2025型扣式电池,测试其充电及其循环性能。图4给出了 $\delta\text{-MnO}_2$ 的首次放电及充电曲线,表明层状 $\text{MnO}_2$ 在 $200\text{ mA}\cdot\text{g}^{-1}$ 的电流下放电,获得 $125.8\text{ mAh}\cdot\text{g}^{-1}$ 的放电容量,第2循环容量增大到 $164.7\text{ mAh}\cdot\text{g}^{-1}$ ,这一现象主要是 $\delta\text{-MnO}_2$ 中Mn的价态约为+3.84,它在首次充电过程可被氧化至+4价,因此第2循环的放电容量要高于第1循环;随后, $\delta\text{-MnO}_2$ 的放电容量随着循环的进行快速衰退,至第40次循环时,放电容量已衰减至 $80.6\text{ mAh}\cdot\text{g}^{-1}$ (如图5所示)。酸处理后的HMO,放电容量与 $\delta\text{-MnO}_2$ 相近,为 $160.9\text{ mAh}\cdot\text{g}^{-1}$ ,循环性能略有改善,经过40次循环后放电容量为 $86.7\text{ mAh}\cdot\text{g}^{-1}$ ,约为其可逆容量( $\sim 156\text{ mAh}\cdot\text{g}^{-1}$ )的55.6%(见图5)。与之形成对比,如图6所示, $\text{MnO}_2$ /聚苯胺复合材料的首次放电容量为 $160.2\text{ mAh}\cdot\text{g}^{-1}$ ,经过1次充电后的放电

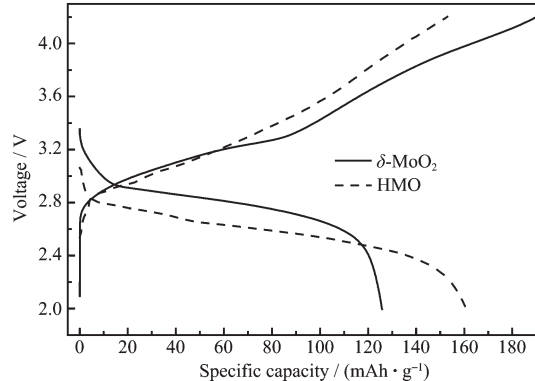


图4  $\text{MnO}_2$  的充放电曲线( $200\text{ mA}\cdot\text{g}^{-1}$ )

Fig.4 Discharge/charge curves of  $\text{MnO}_2$  at  $200\text{ mA}\cdot\text{g}^{-1}$

容量为  $135.0 \text{ mAh} \cdot \text{g}^{-1}$ , 具有较大的首次不可逆容量,但在随后的充放电循环过程中则显示出良好的循环性能(如图 7 所示),在循环次数达 40 次时,放电容量仍可达  $103 \text{ mAh} \cdot \text{g}^{-1}$ , 约为可逆容量的 76.3%。

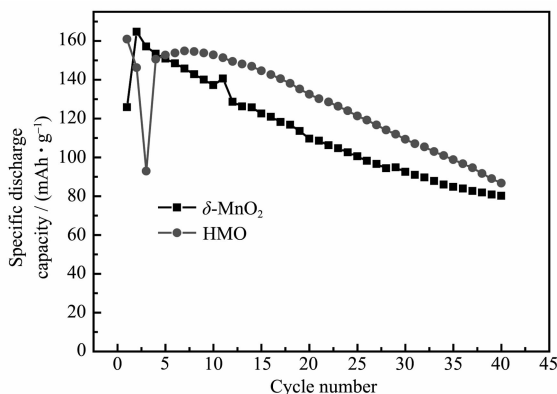


图 5 MnO<sub>2</sub> 的循环性能(充放电电流为  $200 \text{ mA} \cdot \text{g}^{-1}$ )

Fig.5 Cyclic performances of MnO<sub>2</sub> at  $200 \text{ mA} \cdot \text{g}^{-1}$

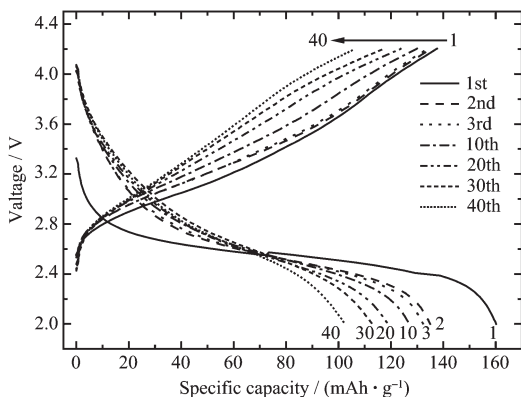


图 6 MnO<sub>2</sub>/PAn 的充放电曲线( $200 \text{ mA} \cdot \text{g}^{-1}$ )

Fig.6 Discharge/charge curves of MnO<sub>2</sub>/PAn at  $200 \text{ mA} \cdot \text{g}^{-1}$

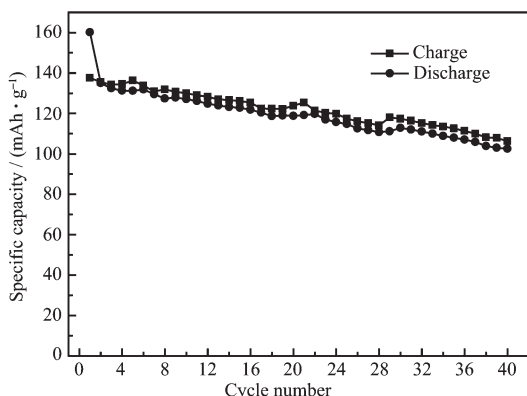


图 7 MnO<sub>2</sub>/PAn 的循环性能(充放电电流为  $200 \text{ mA} \cdot \text{g}^{-1}$ )

Fig.7 Cyclic performance of MnO<sub>2</sub>/PAn at  $200 \text{ mA} \cdot \text{g}^{-1}$

可见,无论相对于前驱体  $\delta\text{-MnO}_2$  还是酸处理得到的 HMO,所制备的 MnO<sub>2</sub>/聚苯胺复合材料其循环性能得到了明显的提高。原因之一是:当苯胺嵌

入 MnO<sub>2</sub> 结构中并聚合后有助于稳定 MnO<sub>2</sub> 的结构,在充放电过程中,抑制了因锂离子嵌入造成结构的破坏,从而改善了 MnO<sub>2</sub> 的循环性能;另一方面,如果苯胺包裹在 MnO<sub>2</sub> 表面,则有利于抑制 MnO<sub>2</sub> 在充放电过程中 Mn 的溶解,从而也能改善电极的循环性能。此外,因为聚苯胺具有较高的电导率,也有助于改善 MnO<sub>2</sub> 电极的导电性<sup>[16]</sup>,从而改善电极在较大电流下的充放电性能。

### 3 结 论

以  $\delta\text{-MnO}_2$  为前驱体,通过酸处理后再直链胺嵌入,苯胺交换并聚合,获得 MnO<sub>2</sub>/聚苯胺复合材料。XRD 结构表征表明,经酸处理后的  $\delta\text{-MnO}_2$  转变为  $\alpha\text{-MnO}_2$ ,随后的苯胺嵌入及聚合并不改变 MnO<sub>2</sub> 的结构。红外分析表明,在 MnO<sub>2</sub> 中成功引入了苯胺并聚合形成 MnO<sub>2</sub>/聚苯胺复合材料,苯胺在复合物中可能以嵌入 MnO<sub>2</sub> 结构中和包覆在其表面的两种形式存在。该 MnO<sub>2</sub>/聚苯胺复合物与前驱体  $\delta\text{-MnO}_2$  及酸处理后得到  $\alpha\text{-MnO}_2$  相比,尽管其放电容量没有明显变化,但其循环性能却得到了较大的改善。

### 参考文献:

- [1] SONG Xu-Chun(宋旭春), YANG E(杨娥), ZHENG Yi-Fan(郑遗凡), et al. Chinese J. Inorg. Chem.(Wuji Huaxue Xuebao), **2007**,**23**(5):919~922
- [2] LI Juan(李娟), XIA Xi(夏熙), LI Qing-Wen(李清文). Chem. J. Chinese. Univ.(Gaodeng Xuexiao Huaxue Xuebao), **1999**,**20**(9):1434~1437
- [3] Bach S, Peraira-Ramos T P, Baffier N. J. Electrochem. Soc., **1996**,**143**(11):3429~3434
- [4] Ching S, Landrigan J A, Jorgeuse M L. Chem. Mater., **1995**, 7:1604~1606
- [5] Zhang G Q, Zhang X G. Solid State Ionics, **2003**,**160**(1~2):155~159
- [6] Zhan H, Zhou Y H, Wang C G, et al. Mater. Chem. Phys., **2005**,**90**(2~3):353~360
- [7] Feng R X, Dong H, Wang Y D, et al. Electrochimist. Comm., **2005**,**7**(4):449~452
- [8] Wortham E, Bonnet B, Jones D J, et al. J. Mater. Chem., **2004**,**14**(1):121~126
- [9] Nakayama M, Konishi S, Tagashira H, et al. Langmuir, **2005**, **21**(1):354~359
- [10] SHEN Yu(生瑜), CHEN Jian-Ding(陈建定), ZHU De-Qin(朱德钦). Chinese J. Funct. Poly. (Gongneng Gaofenzhi)

- Xuebao), **2004**,**17**(1):5~10
- [11]SHEN Yu(生瑜), CHEN Jian-Ding(陈建定), ZHU De-Qin(朱德钦). *Chinese J. Funct. Poly. (Gongneng Gaofenzhi Xuebao)*, **2004**,**17**(1):11~15
- [12]ZHANG Qi-Wei(张启卫), ZHONG Jian-Sheng(钟建生), HUANG Xing-Kang(黄行康), et al. *Chinese J. Appl. Chem. (Yingyong Huaxue)*, **2005**,**22**(8):908~911
- [13]MA Zhi-Chuan(马子川), XIE Ya-Bo(谢亚勃), ZHANG Xue-Rong(张雪荣). *J. Hebei Normal Univ.(Hebei Shifan Daxue Xuebao)*, **2001**,**25**(1):83~85
- [14]Golden D C, Chen C C, Dixon J B. *Clays and Clay Minerals*, **1987**,**35**(4):271~280
- [15]Cai J, Liu J, Suib S L. *Chem. Mater.*, **2002**,**14**(5):2071~2077
- [16]YANG Zhen-Yu(杨镇宇), WANG Geng-Chao(王庚超), LI Xing-Wei(李星玮). *Chinese J. Funct. Mater (Gongneng Cailiao)*, **2006**,**37**(12):5~10